

Mudança de Variáveis em Integrais triplas

META:

Introduzir mudança de variáveis em integrais triplas de funções de valores reais e domínio em \mathbb{R}^3 .

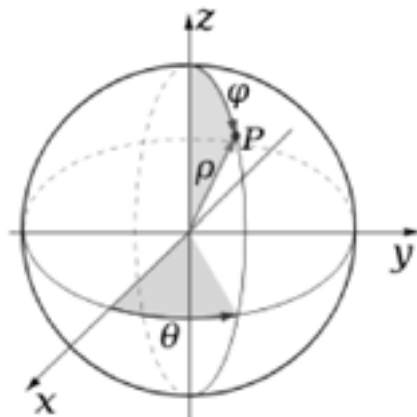
OBJETIVOS:

Ao fim da aula os alunos deverão ser capazes de:

Calcular integrais triplas de funções de valores reais e domínio em \mathbb{R}^3 utilizando mudança de variáveis.

PRÉ-REQUISITOS

Os conhecimentos de integrais de funções de valores reais com domínio em \mathbb{R} , da disciplina Cálculo I, superfícies em R^3 , de coordenadas polares da disciplina Cálculo II e integrais triplas aula 04.



5.1 Introdução

Caros alunos o problema da mudança de variáveis em integrais triplas é inteiramente análogo ao problema de mudança de variáveis em integrais duplas. Analogias a parte, o fato de do espaço \mathbb{R}^3 ter uma dimensão a mais que o \mathbb{R}^2 , traz um esforço algébrico adicional ao tratamento geral da mudança de variáveis em integrais triplas. Veremos dois casos particulares de mudança de variáveis em integrais tripla que correspondem aos: sistemas de coordenadas cilíndricos e sistema de coordenadas esféricas.

HISTÓRIA

O teorema de mudança de variáveis em integrais triplas foi primeiro proposto por Lagrange em 1773 e usado por Legendre, Laplace e Gauss, e primeiramente generalizado para n variáveis por Mikhail Ostrogradski em 1836, resistiu a uma demonstração mais rigorosa por longo tempo (cerca de 125 anos). E foi satisfatoriamente demonstrado por Elie Cartan em uma série de artigos nos anos 1890.

5.2 Mudança de Variáveis em Integrais Triplas

Vamos considerar a integração de uma função $f : D \subset \mathbb{R}^3 \mapsto \mathbb{R}$ onde $(x, y, z) \in D$ e conseqüentemente, $\forall (x, y, z) \in D$ temos $f(x, y, z) \in \mathbb{R}$. Consideraremos também, uma transformação $T : D \subset \mathbb{R}^3 \mapsto D' \subset \mathbb{R}^3$, biunívoca de modo que $D = T^{-1}(D')$, $\forall (u, v, w) \in D', (x, y, z) = T^{-1}(u, v, w) \in D$. Trocando em miúdos: $x = \hat{x}(u, v, w)$, $y = \hat{y}(u, v, w)$ e $z = \hat{z}(u, v, w)$. E suponhamos as funções contínuas e deriváveis e seu jacobiano, denotado J , definido por: $J \left(\frac{x, y, z}{u, v, w} \right)$ ou $\frac{\partial(x, y, z)}{\partial(u, v, w)}$:

$$J \left(\frac{x, y, z}{u, v, w} \right) = \frac{\partial(x, y, z)}{\partial(u, v, w)} = \det \begin{bmatrix} \frac{\partial \hat{x}}{\partial u} & \frac{\partial \hat{y}}{\partial u} & \frac{\partial \hat{z}}{\partial u} \\ \frac{\partial \hat{x}}{\partial v} & \frac{\partial \hat{y}}{\partial v} & \frac{\partial \hat{z}}{\partial v} \\ \frac{\partial \hat{x}}{\partial w} & \frac{\partial \hat{y}}{\partial w} & \frac{\partial \hat{z}}{\partial w} \end{bmatrix}.$$

Suponhamos uma partição de D' feita partindo de planos paralelos aos planos coordenados vw (u constante), uw (v constante) e uv (w constante). Denotando $u_{i+1} = u_i + \Delta u_i$, $v_{j+1} = v_j + \Delta v_j$ e

$w_{k+1} = w_k + \Delta w_k$, destacamos o pequeno paralelepípedo indexado por ijk , (**Fig 5.1**). Suponhamos que

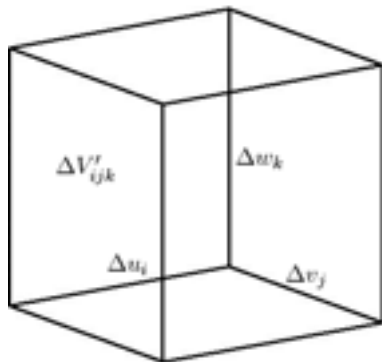


Figura 5.1: Elemento de volume em D'

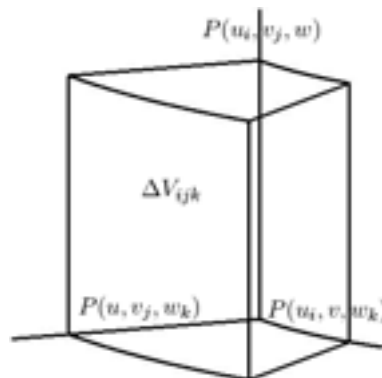


Figura 5.2: Elemento de volume em D

este pequeno paralelepípedo de volume $\Delta V'_{ijk} = \Delta u_i \Delta v_j \Delta w_k$ seja mapeado por T^{-1} em um subdomínio em D de volume ΔV_{ijk} (**Fig 5.2**). Seja: $P = P(u, v, w) = (\hat{x}(u, v, w), \hat{y}(u, v, w), \hat{z}(u, v, w))$. Os segmentos de reta (u, v_j, w_k) , (u_i, v, w_k) e (u_i, v_j, w) começando no ponto (u_i, v_j, w_k) são mapeados por T^{-1} em $P(u, v_j, w_k)$, $P(u_i, v, w_k)$ e $P(u_i, v_j, w)$ ver (**Fig 5.2**).

No subdomínio $V_{ijk} \subset D$ traçamos os vetores tangentes $\frac{\partial P}{\partial u} \Delta u_i$, $\frac{\partial P}{\partial v} \Delta v_j$ e $\frac{\partial P}{\partial w} \Delta w_k$, ver (**Fig 5.3**). Em seguida traçamos segmentos de reta paralelos aos vetores tangentes completando um paralelepípedo em D , ver (**Fig 5.4**), cujo volume admitiremos aproximadamente igual ao ΔV_{ijk} (esta é a argumentação heurística). Este volume é dado por:

$$\Delta V_{ijk} \approx \left| \frac{\partial P}{\partial u} \Delta u_i \times \frac{\partial P}{\partial v} \Delta v_j \cdot \frac{\partial P}{\partial w} \Delta w_k \right|.$$

Levando em conta que:

$$\begin{aligned} \frac{\partial P}{\partial u} &= \frac{\partial \hat{x}}{\partial u} \vec{i} + \frac{\partial \hat{y}}{\partial u} \vec{j} + \frac{\partial \hat{z}}{\partial u} \vec{k} \\ \frac{\partial P}{\partial v} &= \frac{\partial \hat{x}}{\partial v} \vec{i} + \frac{\partial \hat{y}}{\partial v} \vec{j} + \frac{\partial \hat{z}}{\partial v} \vec{k} \\ \frac{\partial P}{\partial w} &= \frac{\partial \hat{x}}{\partial w} \vec{i} + \frac{\partial \hat{y}}{\partial w} \vec{j} + \frac{\partial \hat{z}}{\partial w} \vec{k} \end{aligned}$$

e calculando o produto vetorial mixto teremos:

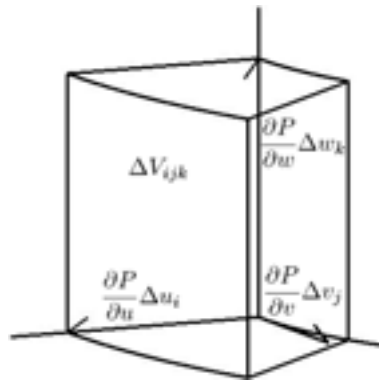


Figura 5.3: Elemento de volume em D'

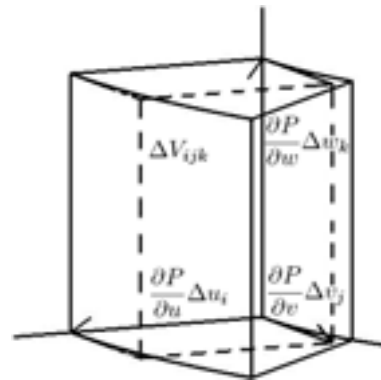


Figura 5.4: Elemento de volume em D

$$\frac{\partial P}{\partial u} \Delta u_i \times \frac{\partial P}{\partial v} \Delta v_j \bullet \frac{\partial P}{\partial w} \Delta w_k = \det \begin{bmatrix} \frac{\partial \hat{x}}{\partial u} & \frac{\partial \hat{y}}{\partial u} & \frac{\partial \hat{z}}{\partial u} \\ \frac{\partial \hat{x}}{\partial v} & \frac{\partial \hat{y}}{\partial v} & \frac{\partial \hat{z}}{\partial v} \\ \frac{\partial \hat{x}}{\partial w} & \frac{\partial \hat{y}}{\partial w} & \frac{\partial \hat{z}}{\partial w} \end{bmatrix} \Delta u_i \Delta v_j \Delta w_k$$

Daí, levando em conta a expressão do jacobiano em \mathbb{R}^3 , dada acima, temos:

$$\Delta V_{ijk} \approx \left| \frac{\partial(\hat{x}, \hat{y}, \hat{z})}{\partial(u, v, w)} \right| \Delta u_i \Delta v_j \Delta w_k$$

O que nos leva à seguinte expressão para a mudança de variáveis em integrais triplas:

$$\int \int \int_D f(x, y, z) dx dy dz = \int \int \int_{D'} F(u, v, w) |J| du dv dw$$

onde: $F(u, v, w) = f(\hat{x}(u, v, w), \hat{y}(u, v, w), \hat{z}(u, v, w))$ e J é o jacobiano $J = J \begin{pmatrix} \hat{x}, \hat{y}, \hat{z} \\ u, v, w \end{pmatrix}$.

5.3 Alguns Exemplos

Nesta seção veremos dois exemplos de integrais triplas com mudança de variáveis. No primeiro aplicaremos a mudança de variáveis dada pelo sistema de coordenadas cilíndricas e no segundo o sistema de coordenadas esféricas $\alpha(\vartheta) \beta(\vartheta)$

Primeiramente veremos um exemplo em coordenadas cilíndricas. Antes porém, veremos como determinar os limites de integração em coordenadas cilíndricas.

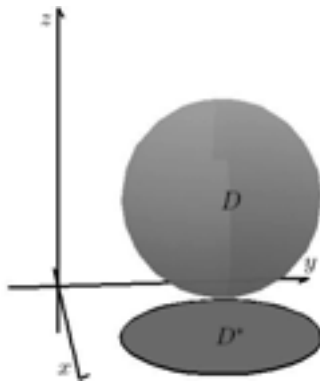


Figura 5.5: Coordenadas cilíndricas 1

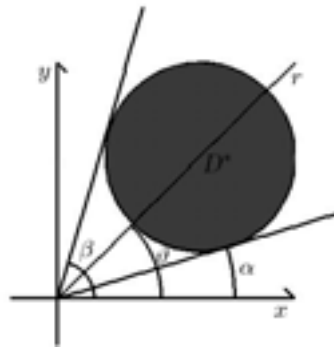


Figura 5.6: Coordenadas cilíndricas 2

Passo 1 Esboçar o domínio D bem como sua projeção D^* no plano xy (ver **Fig. 5.5**).

Passo 2 Identificar as curvas que limitam a região D^* . Atravessar a região D^* com uma reta r começando na origem (ver **Fig. 5.6**).

À medida em que a reta r percorre a região D^* o ângulo ϑ que ela forma com o eixo x positivo varia do mínimo α que será o limite inferior da variável ϑ ao máximo β que será o limite superior da variável ϑ . Daí, a variável $\vartheta \in [\alpha, \beta]$.

Passo 3 Para cada valor fixo da variável $\vartheta \in [\alpha, \beta]$ atravessar a região D^* com a reta r (ver **Fig. 5.7**). O ponto onde a reta r entra na região D^* é o limite inferior $\alpha(\vartheta)$ para a variável r e o ponto onde a reta r sai da região D^* é o limite inferior $\beta(\vartheta)$ para a variável r . Daí, $r \in [\alpha(\vartheta), \beta(\vartheta)]$.

Passo 4 Para cada valor fixo da variável $\vartheta \in [\alpha, \beta]$ e da variável $r \in [\alpha(\vartheta), \beta(\vartheta)]$ tomar o ponto $(r, \vartheta) \in D^*$ em coordenadas polares e levantar a reta s atravessando a região D (ver **Fig. 5.8**). O ponto onde a reta s entra na região D é o limite inferior $\alpha(r, \vartheta)$ para a variável z e o ponto onde a reta s sai da região D é o limite superior $\beta(r, \vartheta)$ para a variável z . Daí, $z \in [\alpha(r, \vartheta), \beta(r, \vartheta)]$.

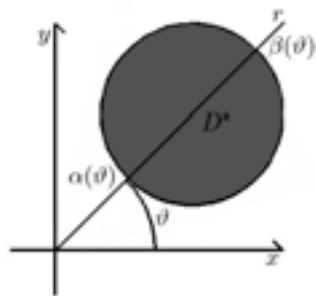


Figura 5.7: Coordenadas cilíndricas 3

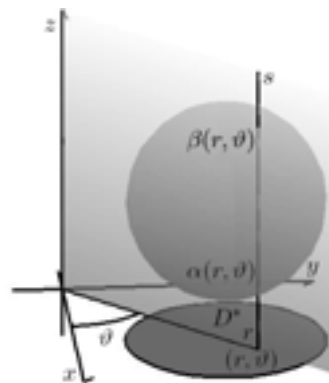


Figura 5.8: Coordenadas cilíndricas 4

Podemos agora encarar o nosso primeiro exemplo onde colocaremos

em prática a determinação dos limites de integração em coordenadas cilíndricas.

Exemplo 5.1. Considere o sólido gerado pela intersecção das superfícies: $z = y + a$, (plano) $x^2 + y^2 - 2ay = 0$, (cilindro) e $z = 0$, (plano) (**Fig 5.9**) e determine seu volume.

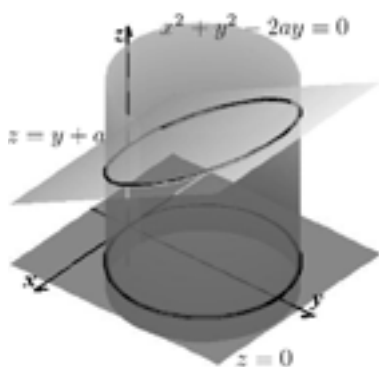


Figura 5.9: Superfícies do exemplo 1

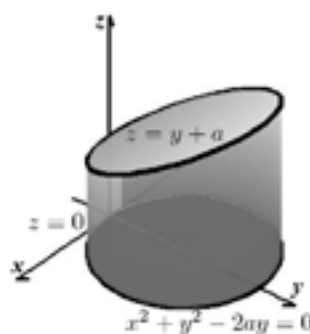


Figura 5.10: Intersecção das superfícies do exemplo 1

SOLUÇÃO: Para uma melhor compreensão mostramos na (**Fig 5.10**) o sólido gerado pela intersecção das superfícies dadas e na (**Fig 5.11**) as superfícies que compõem o sólido separadas no espaço.

Usaremos para o caso o sistema de coordenadas cilíndricas, dada pela transformação: $(x, y, z) \mapsto (r, \vartheta, z)$ onde $x = r \cos(\vartheta)$, $y = r \sin(\vartheta)$ e $z = z$. O jacobiano da transformação é dado por:

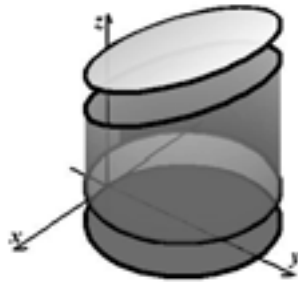


Figura 5.11: Domínio D para o exemplo 2

$$J = J\left(\frac{x, y, z}{r, \vartheta, z}\right) = \det \begin{bmatrix} \frac{\partial \hat{x}}{\partial r} & \frac{\partial \hat{y}}{\partial r} & \frac{\partial \hat{z}}{\partial r} \\ \frac{\partial \hat{x}}{\partial \vartheta} & \frac{\partial \hat{y}}{\partial \vartheta} & \frac{\partial \hat{z}}{\partial \vartheta} \\ \frac{\partial \hat{x}}{\partial z} & \frac{\partial \hat{y}}{\partial z} & \frac{\partial \hat{z}}{\partial z} \end{bmatrix}$$

Efetuada as derivadas parciais temos:

$$J = \det \begin{bmatrix} \cos(\vartheta) & \sin(\vartheta) & 0 \\ -r \sin(\vartheta) & r \cos(\vartheta) & 0 \\ 0 & 0 & 1 \end{bmatrix} = r$$

Fazendo as contas do determinante temos:

$$J = r$$

Aproveitaremos o exemplo para aplicar os passos, vistos acima, para determinação dos limites de integração de uma integral tripla no sistema de coordenadas cilíndricas.

Passo 1: Esboçar a interseção das superfícies (sólido D), bem como sua projeção sobre o plano xy (superfície D^*), ver (Fig 5.10). A projeção sobre o plano xy (superfície D^*), conhece com a superfície inferior do sólido, sendo o disco dado por $x^2 + y^2 - 2ay \leq 0$.

Passo 2: Os limites para r e ϑ são determinados em D^* do mesmo modo que para coordenadas polares em \mathbb{R}^2 . Neste caso $0 \leq \vartheta \leq 2\pi$ e para r temos: que r vai de zero até a borda de D^* que é dada por $x^2 + y^2 - 2ay = (r \cos(\vartheta))^2 + (r \sin(\vartheta))^2 - 2ar \sin(\vartheta) = 0$. Daí, $r^2 - 2ar \sin(\vartheta) = r(r - 2a \sin(\vartheta)) = 0$ Simplificando temos: $0 \leq r \leq 2a \sin(\vartheta)$.

Passo 3: Para determinar os limites para z . Por cada par $(r, \vartheta) \in D^*$, traçamos uma reta paralela ao eixo z orientada no sentido positivo do eixo z atravessando o sólido. O limite inferior de z é o ponto onde a reta entra no sólido e o limite superior o ponto onde a reta sai do sólido. Neste caso: $0 \leq z \leq a + x$ ou como $x = r \cos(\vartheta)$ temos: $0 \leq z \leq a + r \cos(\vartheta)$.

Daí, o cálculo do volume de D será dado pela integral:

$$Vol(D) = \int_0^{2\pi} \int_0^{2a \sin(\vartheta)} \int_0^{a+r \sin(\vartheta)} r dz dr d\vartheta$$

Integrando na variável z temos:

$$Vol(D) = \int_0^{2\pi} \int_0^{2a \sin(\vartheta)} r z \Big|_0^{a+r \sin(\vartheta)} dr d\vartheta$$

Substituindo os limites de integração temos:

$$Vol(D) = \int_0^{2\pi} \int_0^{2a \sin(\vartheta)} r(a + r \sin(\vartheta) - 0) dr d\vartheta$$

Fazendo as contas temos:

$$Vol(D) = \int_0^{2\pi} \int_0^{2a \sin(\vartheta)} (ar + r^2 \sin(\vartheta)) dr d\vartheta$$

Integrando em na variável r temos:

$$Vol(D) = \int_0^{2\pi} \left(a \frac{r^2}{2} + \frac{r^3}{3} \sin(\vartheta) \right) \Big|_0^{2a \sin(\vartheta)} d\vartheta$$

Mudança de Variáveis em Integrais triplas

Substituindo o limite superior pois, o limite inferior por ser $r = 0$ não contribui, temos:

$$Vol(D) = \int_0^{2\pi} \left(a \frac{(2a \sin(\vartheta))^2}{2} + \frac{(2a \sin(\vartheta))^3}{3} \sin(\vartheta) \right) d\vartheta$$

Simplificando temos:

$$Vol(D) = \int_0^{2\pi} \left(2a^3 \sin(\vartheta)^2 + \frac{8a^3 \sin(\vartheta)^4}{3} \right) d\vartheta$$

Reescrevendo temos:

$$Vol(D) = 2a^3 \int_0^{2\pi} \sin(\vartheta)^2 d\vartheta + \frac{8a^3}{3} \int_0^{2\pi} \sin(\vartheta)^4 d\vartheta$$

Das tabelas de integrais temos:

$$\begin{aligned} \int \sin(\alpha u)^n du &= -\frac{\alpha \sin(\alpha u)^{n-1} \cos(\alpha u)}{an} \\ &\quad + \left(\frac{n-1}{n} \right) \int \sin(\alpha u)^{n-2} du \\ \int \sin(\alpha u)^2 du &= \frac{u}{2} - \frac{\sin(2\alpha u)}{4\alpha} \end{aligned}$$

Dai, temos:

$$\begin{aligned} \int \sin(\vartheta)^2 d\vartheta &= \frac{\vartheta}{2} - \frac{\sin(2\vartheta)}{4} \\ \int \sin(\vartheta)^4 d\vartheta &= -\frac{\sin(\vartheta)^3 \cos(\vartheta)}{4} + \frac{3}{4} \int \sin(\vartheta)^2 d\vartheta \\ &= -\frac{\sin(\vartheta)^3 \cos(\vartheta)}{4} + \frac{3}{4} \left(\frac{\vartheta}{2} - \frac{\sin(2\vartheta)}{4} \right) \end{aligned}$$

Podemos agora calcular as integrais. Para a integral de $\sin(\vartheta)^2$ temos:

$$\begin{aligned} \int_0^{2\pi} \sin(\vartheta)^2 d\vartheta &= \left. \frac{\vartheta}{2} - \frac{\sin(2\vartheta)}{4} \right|_0^{2\pi} \\ &= +\frac{2\pi}{2} - \frac{\sin(4\pi)}{4} \\ &\quad - \frac{0}{2} - \frac{0}{4} \\ &= \pi \end{aligned}$$

Para a integral de $\sin(\vartheta)^4$ temos:

$$\begin{aligned} \int_0^{2\pi} \sin(\vartheta)^4 d\vartheta &= \left(-\frac{\sin(\vartheta)^3 \cos(\vartheta)}{4} + \frac{3}{4} \left(\frac{\vartheta}{2} - \frac{\sin(2\vartheta)}{4} \right) \right) \Big|_0^{2\pi} \\ &= + \left(-\frac{\sin(2\pi)^3 \cos(2\pi)}{4} + \frac{3}{4} \left(\frac{2\pi}{2} - \frac{\sin(4\pi)}{4} \right) \right) \\ &\quad - \left(-\frac{\sin(0)^3 \cos(0)}{4} + \frac{3}{4} \left(\frac{0}{2} - \frac{\sin(0)}{4} \right) \right) \\ &= \frac{3\pi}{4} \end{aligned}$$

Substituindo no cálculo de $Vol(D)$ temos:

$$\begin{aligned} Vol(D) &= 2\pi a^3 + \frac{8a^3}{3} \frac{3\pi}{4} \\ &= 4\pi a^3 \quad \square \end{aligned}$$

Em nosso segundo exemplo utilizaremos coordenadas esféricas, Antes porém, veremos como determinar os limites de integração em coordenadas esféricas.

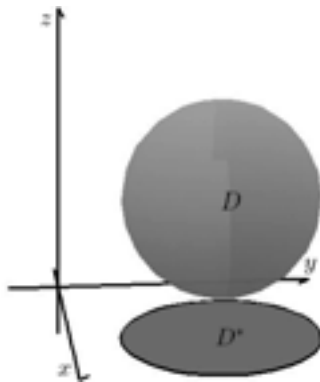


Figura 5.12: Coordenadas esféricas 1

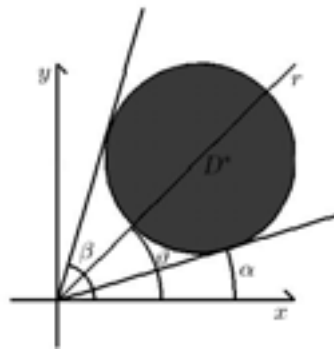


Figura 5.13: Coordenadas esféricas 2

Passo 1 Esboçar o domínio D bem como sua projeção D^* no plano xy (ver **Fig. 5.12**).

Passo 2 Identificar as curvas que limitam a região D^* . Atravessar a região D^* com uma reta r começando na origem (ver **Fig. 5.13**). À medida em que a reta r percorre a região D^* o ângulo ϑ que ela forma com o eixo x positivo varia do mínimo α que será o limite inferior da variável ϑ ao máximo β que será o limite superior da variável ϑ . Daí, a variável $\vartheta \in [\alpha, \beta]$.

Passo 3 Para cada valor fixo da variável $\vartheta \in [\alpha, \beta]$ atravessar

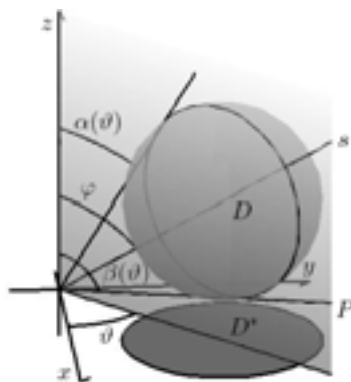


Figura 5.14: Coordenadas esféricas 3

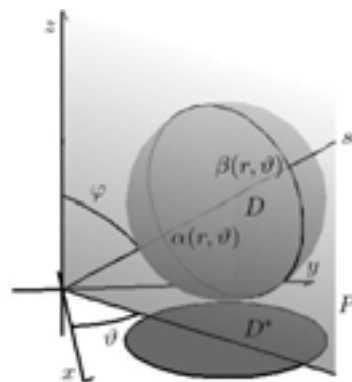


Figura 5.15: Coordenadas esféricas 4

a região D com o plano P que contem o eixo z e forma ângulo ϑ com o eixo x positivo (ver **Fig. 5.14**). Traçamos uma reta r que começa na origem e está contida no plano que corta D . À medida em que a reta r percorre a região D o ângulo φ que ela forma com o eixo z positivo varia do mínimo $\alpha(\vartheta)$ que será o limite inferior da variável φ ao máximo $\beta(\vartheta)$ que será o limite superior da variável φ . Daí, a variável $\varphi \in [\alpha(\vartheta), \beta(\vartheta)]$.

Passo 4 Para cada valor fixo da variável $\vartheta \in [\alpha, \beta]$ e da variável $r \in [\alpha(\vartheta), \beta(\vartheta)]$ plano P que contem o eixo z e forma ângulo ϑ com o eixo x positivo. No plano P traçar a reta s que forma ângulo φ

com o eixo z positivo atravessando a região D (ver **Fig. 5.15**). O ponto onde a reta s entra na região D é o limite inferior $\alpha(\vartheta, \varphi)$ para a variável r e o ponto onde a reta s sai da região D é o limite superior $\beta(\vartheta, \varphi)$ para a variável r . Daí, $r \in [\alpha(\vartheta, \varphi), \beta(\vartheta, \varphi)]$.

Podemos agora encarar o nosso segundo exemplo onde colocaremos em prática a determinação dos limites de integração em coordenadas esféricas.

Exemplo 5.2. Considere o sólido gerado pela interseção das superfícies: $z = \sqrt{x^2 + y^2}$ (cone), $z = \sqrt{a^2 - x^2 - y^2}$ (esfera) (**Fig 5.11**) e determine seu volume.

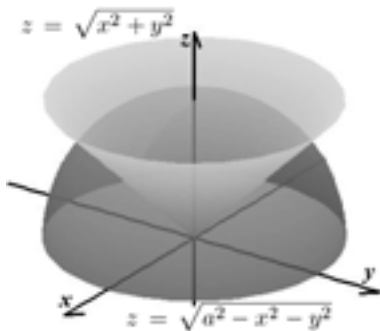


Figura 5.16: Superfícies de exemplo 1

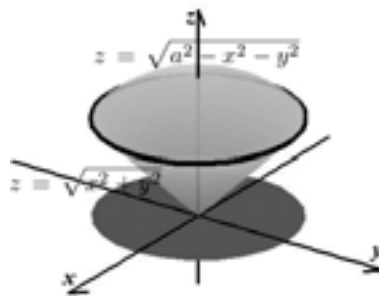


Figura 5.17: Interseção das superfícies de exemplo 1

SOLUÇÃO: Para uma melhor compreensão mostramos na (**Fig 5.17**) o sólido gerado pela interseção das superfícies dadas e na (**Fig 5.18**) as superfícies que compõem o sólido separadas no espaço.

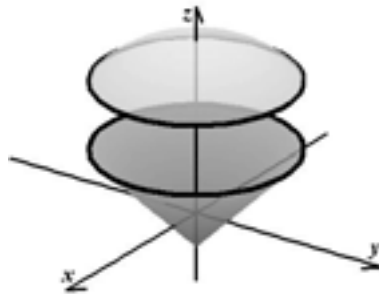


Figura 5.18: Domínio D para o exemplo 2

Usaremos para o caso o sistema de coordenadas esféricas, dada pela transformação: $(x, y, z) \mapsto (r, \vartheta, \varphi)$ onde $x = r \cos(\vartheta) \cos(\varphi)$, $y = r \sin(\vartheta) \cos(\varphi)$ e $z = r \sin(\varphi)$. O jacobiano da transformação é dado por:

$$J = J \left(\begin{matrix} x, y, z \\ r, \vartheta, \varphi \end{matrix} \right) = \det \begin{bmatrix} \frac{\partial \hat{x}}{\partial r} & \frac{\partial \hat{y}}{\partial r} & \frac{\partial \hat{z}}{\partial r} \\ \frac{\partial \hat{x}}{\partial \vartheta} & \frac{\partial \hat{y}}{\partial \vartheta} & \frac{\partial \hat{z}}{\partial \vartheta} \\ \frac{\partial \hat{x}}{\partial \varphi} & \frac{\partial \hat{y}}{\partial \varphi} & \frac{\partial \hat{z}}{\partial \varphi} \end{bmatrix}$$

Efetuando as derivadas parciais temos:

$$J = \det \begin{bmatrix} \cos(\vartheta) \cos(\varphi) & \sin(\vartheta) \cos(\varphi) & \sin(\varphi) \\ -r \sin(\vartheta) \cos(\varphi) & r \cos(\vartheta) \cos(\varphi) & 0 \\ -r \cos(\vartheta) \sin(\varphi) & -r \sin(\vartheta) \sin(\varphi) & r \cos(\varphi) \end{bmatrix}$$

Fazendo as contas do determinante temos:

$$J = r^2 \sin(\varphi)$$

Aproveitaremos o exemplo para aplicar os passos na determinação dos limites de integração de uma integral tripla no sistema de coordenadas esféricas expostos acima.

Passo 1: Esboçar a interseção das superfícies (sólido D), bem como sua projeção sobre o plano xy (superfície D^*), ver (**Fig 5.19**). A projeção sobre o plano xy (superfície D^*), é dada por $x^2 + y^2 \leq a^2$.

Passo 2: Os limites para a variável ϑ são determinados em D^* como em um sistema de coordenadas polares. No caso como D^* é um disco de raio $\frac{\sqrt{a}}{2}$ temos que: $0 \leq \vartheta \leq 2\pi$.

Passo 3: Os limites para a variável φ são determinados em D do seguinte modo: para cada valor fixo de ϑ , em D^* , cortamos o domínio D por um plano que passa no eixo z e forma ângulo ϑ com o eixo x . Traçamos uma reta M que passa na origem, pertence ao plano ϑ e atravessa o domínio D . O ângulo φ é o ângulo formado por M e o eixo z positivo. Para o caso o menor valor é $\varphi = 0$, quando M coincide com o eixo Z e o maior valor de φ em D é quando M coincide com a geratriz do cone $z = \sqrt{x^2 + y^2}$ e $\varphi = \frac{\pi}{4}$.

Passo 4: Os limites para a variável r são determinados em D do seguinte modo: para cada par fixo (ϑ, φ) percorremos a reta M partindo da origem. O limite inferior de r é o ponto onde a reta entra em D e o limite superior o ponto onde M sai de D . Para o nosso caso: $0 \leq r \leq a$ (a reta sai na superfície da esfera $z = \sqrt{a^2 - x^2 - y^2}$).

Podemos determinar o volume de D pela integral tripla:

$$Vol(D) = \int_0^{2\pi} \int_0^{\pi/4} \int_0^a r^2 \sin(\varphi) dr d\varphi d\vartheta$$

Integrando primeiramente na variável r temos:

$$Vol(D) = \int_0^{2\pi} \int_0^{\pi/4} \left. \frac{r^3}{3} \right|_0^a \sin(\varphi) d\varphi d\vartheta$$

Mudança de Variáveis em Integrais triplas

Substituindo os limites de integração temos:

$$Vol(D) = \int_0^{2\pi} \int_0^{\pi/4} \left(\frac{a^3}{3} - \frac{0^3}{3} \right) \sin(\varphi) d\varphi d\vartheta$$

Simplificando temos:

$$Vol(D) = \frac{a^3}{3} \int_0^{2\pi} \int_0^{\pi/4} \sin(\varphi) d\varphi d\vartheta$$

Integrando na variável φ temos:

$$Vol(D) = \frac{a^3}{3} \int_0^{2\pi} -\cos(\varphi) \Big|_0^{\pi/4} d\vartheta$$

Substituindo os limites de integração temos:

$$Vol(D) = \frac{a^3}{3} \int_0^{2\pi} (-\cos(\pi/4) + \cos(0)) d\vartheta$$

Simplificando temos:

$$Vol(D) = \frac{a^3}{3} \frac{2 - \sqrt{2}}{2} \int_0^{2\pi} d\vartheta$$

Integrando na variável ϑ temos:

$$Vol(D) = \frac{a^3}{3} \frac{2 - \sqrt{2}}{2} \vartheta \Big|_0^{2\pi}$$

Substituindo os limites de integração temos:

$$Vol(D) = \frac{a^3}{3} \frac{2 - \sqrt{2}}{2} (2\pi - 0)$$

Finalmente, simplificando temos:

$$Vol(D) = \frac{\pi a^3 (2 - \sqrt{2})}{3} \quad \square$$

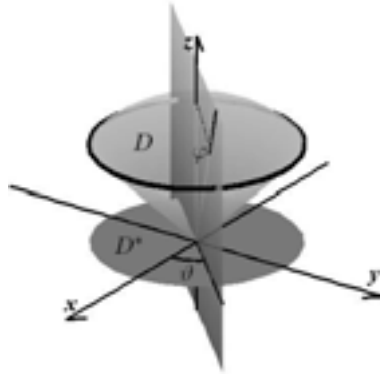


Figura 5.19: Domínio D para o exemplo 2

5.4 Conclusão

Na aula de hoje, vimos que algumas vezes é conveniente fazer uma mudança nas variáveis de integração em uma integral tripla, para facilitar o cálculo da mesma. Vimos em particularmente duas mudanças de variáveis são muito importantes e correspondem aos: sistema de coordenadas cilíndrico e sistema de coordenadas esférico.

RESUMO



Consideramos a transformação $(x, y, z) = T(u, v, w)$ tal que o domínio um ponto do domínio $D \subset \mathbb{R}^3$, (x, y, z) seja transformado no ponto (u, v, w) do domínio $D' \subset \mathbb{R}^3$, $(D = T(D'))$ e mais especificamente $x = \hat{x}(u, v, w)$, $y = \hat{y}(u, v, w)$ e $z = \hat{z}(u, v, w)$. Definindo o jacobiano da transformação, denotado J , $J \left(\frac{x, y, z}{u, v, w} \right)$ ou $\frac{\partial(x, y, z)}{\partial(u, v, w)}$, por:

$$J \left(\begin{matrix} x, y, z \\ u, v, w \end{matrix} \right) = \frac{\partial(x, y, z)}{\partial(u, v, w)} = \det \begin{bmatrix} \frac{\partial \hat{x}}{\partial u} & \frac{\partial \hat{y}}{\partial u} & \frac{\partial \hat{z}}{\partial u} \\ \frac{\partial \hat{x}}{\partial v} & \frac{\partial \hat{y}}{\partial v} & \frac{\partial \hat{z}}{\partial v} \\ \frac{\partial \hat{x}}{\partial w} & \frac{\partial \hat{y}}{\partial w} & \frac{\partial \hat{z}}{\partial w} \end{bmatrix}$$

Mudança de Variáveis em Integrais Triplas

Vale então, a seguinte fórmula para a mudança de variáveis em integrais duplas:

$$\int \int \int_D f(x, y, z) dx dy dz = \int \int \int_{D'} F(u, v, w) |J| du dv dw$$

onde: $F(u, v, w) = f(\hat{x}(u, v, w), \hat{y}(u, v, w), \hat{z}(u, v, w))$ e J é o jacobiano $J = J \left(\begin{matrix} \hat{x}, \hat{y}, \hat{z} \\ u, v, w \end{matrix} \right)$.

Sistema de Coordenadas Cilíndricas

O sistema de coordenadas cilíndricas, dado pela transformação: $(x, y, z) \mapsto (r, \vartheta, z)$ onde $x = r \cos(\vartheta)$, $y = r \sin(\vartheta)$ e $z = z$. O jacobiano da transformação é dado por: $J = r$ e a integral tripla pela expressão:

$$\int \int \int_D f(x, y, z) dx dy dz = \int \int \int_{D'} F(r, \vartheta, z) r dz dr d\vartheta$$

onde: $F(r, \vartheta, z) = f(r \cos(\vartheta), r \sin(\vartheta), z)$

Sistema de Coordenadas esféricas

O sistema de coordenadas esféricas, que é dado pela transformação: $(x, y, z) \mapsto (r, \vartheta, \varphi)$ onde $x = r \cos(\vartheta) \cos(\varphi)$, $y = r \sin(\vartheta) \cos(\varphi)$ e $z = r \sin(\varphi)$. O jacobiano da transformação é dado por: $J = r^2 \sin(\varphi)$ e a integral tripla pela expressão:

$$\int \int \int_D f(x, y, z) dx dy dz = \int \int \int_{D'} F(r, \vartheta, \varphi) r^2 \sin(\varphi) dr d\varphi d\vartheta$$

onde: $F(r, \vartheta, \varphi) = f(r \cos(\vartheta) \cos(\varphi), r \sin(\vartheta) \cos(\varphi), r \sin(\varphi))$

Determinação dos Limites para Integração em Coordenadas Cilíndricas

Para determinação dos limites de integração tripla em coordenadas cilíndricas utiliza-se os seguintes passos:

Passo 1 Esboçar o domínio D bem como sua projeção D^* no plano xy (ver **Fig. 5.5**).

Passo 2 Identificar as curvas que limitam a região D^* . Atravessar a região D^* com uma reta r começando na origem (ver **Fig. 5.6**). À medida em que a reta r percorre a região D^* o ângulo ϑ que ela forma com o eixo x positivo varia do mínimo α que será o limite inferior da variável ϑ ao máximo β que será o limite superior da variável ϑ . Daí, a variável $\vartheta \in [\alpha, \beta]$.

Passo 3 Para cada valor fixo da variável $\vartheta \in [\alpha, \beta]$ atravessar a região D^* com a reta r (ver **Fig. 5.7**). O ponto onde a reta r entra na região D^* é o limite inferior $\alpha(\vartheta)$ para a variável r e o ponto onde a reta r sai da região D^* é o limite superior $\beta(\vartheta)$ para a variável r . Daí, $r \in [\alpha(\vartheta), \beta(\vartheta)]$.

Passo 4 Para cada valor fixo da variável $\vartheta \in [\alpha, \beta]$ e da variável $r \in [\alpha(\vartheta), \beta(\vartheta)]$ tomar o ponto $(r, \vartheta) \in D^*$ em coordenadas polares e levantar a reta s atravessando a região D (ver **Fig. 5.8**). O ponto onde a reta s entra na região D é o limite inferior $\alpha(r, \vartheta)$ para a variável z e o ponto onde a reta s sai da região D é o limite superior $\beta(r, \vartheta)$ para a variável z . Daí, $z \in [\alpha(r, \vartheta), \beta(r, \vartheta)]$.

Determinação dos Limites para Integração em Coordenadas Esféricas

Para determinação dos limites de integração tripla em coordenadas esféricas utiliza-se os seguintes passos:

Passo 1 Esboçar o domínio D bem como sua projeção D^* no plano xy (ver **Fig. 5.12**).

Passo 2 Identificar as curvas que limitam a região D^* . Atravessar a região D^* com uma reta r começando na origem (ver **Fig. 5.13**). À medida em que a reta r percorre a região D^* o ângulo ϑ que ela forma com o eixo x positivo varia do mínimo α que será o limite inferior da variável ϑ ao máximo β que será o limite superior da variável ϑ . Daí, a variável $\vartheta \in [\alpha, \beta]$.

Passo 3 Para cada valor fixo da variável $\vartheta \in [\alpha, \beta]$ atravessar a região D com o plano P que contem o eixo z e forma ângulo ϑ com o eixo x positivo (ver **Fig. 5.14**). Traçamos uma reta r que começa na origem e está contida no plano que corta D . À medida em que a reta r percorre a região D o ângulo φ que ela forma com o eixo z positivo varia do mínimo $\alpha(\vartheta)$ que será o limite inferior da variável φ ao máximo $\beta(\vartheta)$ que será o limite superior da variável φ . Daí, a variável $\varphi \in [\alpha(\vartheta), \beta(\vartheta)]$.

Passo 4 Para cada valor fixo da variável $\vartheta \in [\alpha, \beta]$ e da variável $\varphi \in [\alpha(\vartheta), \beta(\vartheta)]$ plano P que contem o eixo z e forma ângulo

ϑ com o eixo x positivo. No plano P traçar a reta s que forma ângulo φ com o eixo z positivo atravessando a região D (ver **Fig. 5.15**). O ponto onde a reta s entra na região D é o limite inferior $\alpha(\vartheta, \varphi)$ para a variável r e o ponto onde a reta s sai da região D é o limite superior $\beta(\vartheta, \varphi)$ para a variável r . Daí, $r \in [\alpha(\vartheta, \varphi), \beta(\vartheta, \varphi)]$.

PRÓXIMA AULA



Em nossa próxima aula veremos algumas das inúmeras aplicações da integral tripla. Nossa atenção estará voltada para o cálculo do centro de massa e momentos de inércia de sólidos gerados por interseções de superfícies em \mathbb{R}^3 .

ATIVIDADES



Deixamos como atividades dois problemas envolvendo mudança de variáveis em integrais triplas.

ATIV. 5.1. Determine o volume do sólido formado pela interseção das superfícies $z = 0$, $z = 1 + x^2 + 3y^2$ e $x^2 + y^2 = 1$.

Comentário: Volte ao texto e reveja com calma e atenção o primeiro exemplo e use o sistema de coordenadas cilíndricas.

ATIV. 5.2. Seja $D \subset \mathbb{R}^3$ a região formada pela interseção das superfícies $z = 0$ e $x^2 + Y^2 + Z^2 = 1$ e $f : \mathbb{R}^3 \mapsto \mathbb{R}$ dada por

$f(x, y, z) = z$. Determine a integral tripla $\int \int \int_D f(x, y, z) dx dy dz$.

Comentário: Volte ao texto e reveja com calma e atenção o segundo exemplo e use o sistema de coordenadas esféricas.



LEITURA COMPLEMENTAR

ÁVILA, Geraldo, Cálculo 3: Funções de Várias Variáveis, Livros Técnicos e Científicos Editora, São Paulo, 3^a edição, 1982.

LEITHOLD, Louis, O Cálculo com Geometria Analítica. Volume 2, Editora Harbra, 1994.

STEWART, James, Cálculo. Volume 3, 5^a edição, Editora CENGAGE Learning, 2009.

SWOKOWSKI, Earl E., Cálculo com Geometria Analítica, Volume 2, 2^a edição, Makron Books do Brasil SP, 1994.

THOMAS, George B., Cálculo, Volume 2, 10^a, Addison Wesley, 2003.

KAPLAN, Wilfred, Cálculo Avançado Vol.1 e vol.2 Editora Edgard Blücher 1991.// SPIEGEL, Murray R. Cálculo Avançado, Editora McGraw-Hill do Brasil, 1971.

BOUCHARA, Jacques, Cálculo Integral Avançado, EDUSP, 2006.